

# Nichtinvasive und kontrastmittelfreie Messung des zerebralen Blutvolumens mittels Hyperoxie und BOLD-fMRT

Elisa Saks<sup>1,2</sup>, Stephan Kaczmarz<sup>1,2,3</sup>, Nicholas Blockley<sup>4</sup>, Claus Zimmer<sup>1</sup>,  
Christine Preibisch<sup>1,2,5</sup>, Gabriel Hoffmann<sup>1,2</sup>

09.10.2024 17:45-17:50 – Hauptsitzung 3: Imaging Techniken

*1 Institut für Diagnostische und Interventionelle Neuroradiologie, TUM Universitätsklinikum, Technische Universität München, München, Deutschland. 2 TUM-Neuroimaging Center, TUM Universitätsklinikum, Technische Universität München, München, Deutschland. 3 Philips GmbH Market DACH, Hamburg, Deutschland. 4 School of Life Science, University of Nottingham, Nottingham, United Kingdom. 5 Klinik für Neurologie, TUM Universitätsklinikum, Technische Universität München, München, Deutschland*



**Gemeinsam Zukunft gestalten**

**09. - 11.10.2024, Kassel**

59. Jahrestagung der Deutschen Gesellschaft für Neuroradiologie e.V.

mit **GERMAN STROKE SCHOOL**

## **Erklärung zu möglichen Interessenskonflikten:**

### **Berater- und Gutachtertätigkeiten**

Nein.

### **Honorare**

Nein.

### **Forschungsfinanzierung**

Nein.

### **Eigentümerinteressen (Patent, Urheberrecht, Verkaufslizenz)**

Nein.

### **Geschäftsanteile, Aktien, Fonds**

Nein.

# Motivation

**Zerebrales Blutvolumen (engl. cerebral blood volume, CBV)**

→ Biomarker in Klinik<sup>1-2</sup> und neurowissenschaftlicher Forschung

1 Gersing, *Neuroradiology*, 2015 / 2 Boxerman, *Neuro Oncol*, 2020

# Motivation

## Zerebrales Blutvolumen (engl. cerebral blood volume, CBV)

→ Biomarker in Klinik<sup>1-2</sup> und neurowissenschaftlicher Forschung

### Traditionelle Mess-/Quantifizierungsmethoden:

- O<sub>2</sub>-basierte Positronen-Emissions-Tomographie (PET)
- T2\*-gewichtete Perfusions-Magnetresonanztomographie (MRT) mit Kontrastmittel-Injektion

<sup>1</sup> Gersing, *Neuroradiology*, 2015 / <sup>2</sup> Boxerman, *Neuro Oncol*, 2020

# Motivation

## Zerebrales Blutvolumen (engl. cerebral blood volume, CBV)

→ Biomarker in Klinik<sup>1-2</sup> und neurowissenschaftlicher Forschung

### Traditionelle Mess-/Quantifizierungsmethoden:

- O<sub>2</sub>-basierte **Positronen-Emissions-Tomographie** (PET)
- T2\*-gewichtete Perfusions-Magnetresonanztomographie (MRT) mit **Kontrastmittel-Injektion**<sup>3</sup>



<sup>1</sup> Gersing, *Neuroradiology*, 2015 / <sup>2</sup> Boxerman, *Neuro Oncol*, 2020 / <sup>3</sup> Ramalho, *Magn Reson Imaging*, 2016

# Methodik



16 gesunde Proband:innen (46.9 ± 25.3 y)



Philips Ingenia Elition X 3T MRT-Scanner  
32-Kanal-Kopfspule

# Methodik



16 gesunde Proband:innen (46.9 ± 25.3 y)



Philips Ingenia Elition X 3T MRT-Scanner  
32-Kanal-Kopfspule

## **T2\*-gewichtete funktionelle MRT**

BOLD-Kontrast (blood oxygenation level dependent),  
3x3x3 mm<sup>3</sup>, 04:04.7 min, Luft + O<sub>2</sub>

# Methodik



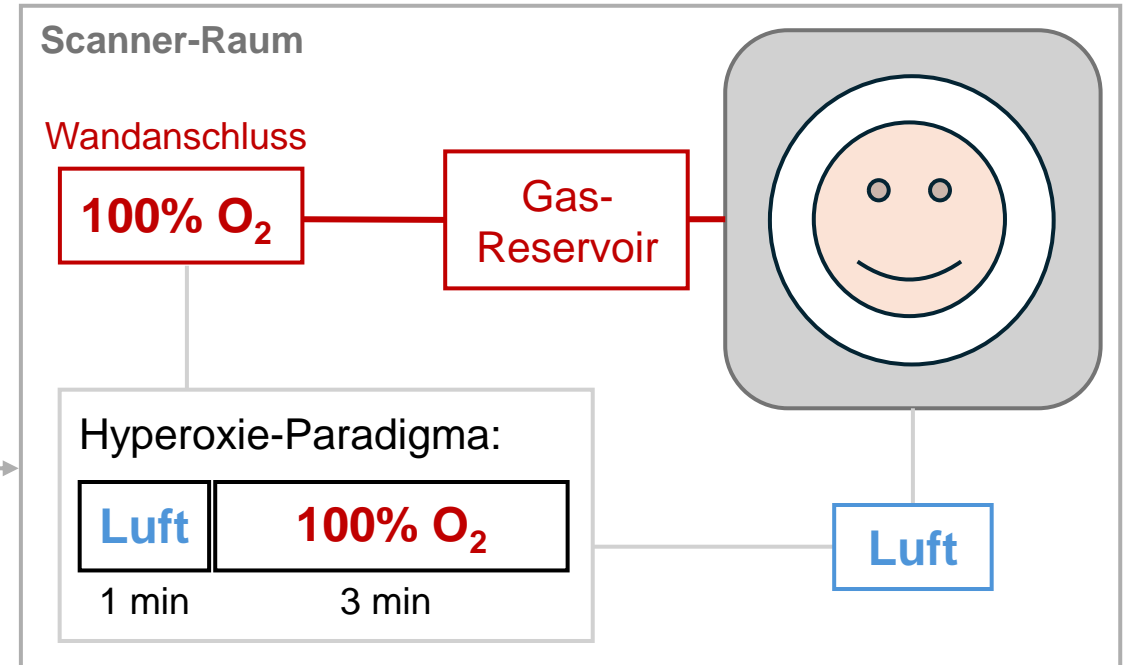
16 gesunde Proband:innen (46.9 ± 25.3 y)



Philips Ingenia Elition X 3T MRT-Scanner  
32-Kanal-Kopfspule

## T2\*-gewichtete funktionelle MRT

BOLD-Kontrast (blood oxygenation level dependent),  
3x3x3 mm<sup>3</sup>, 04:04.7 min, Luft + O<sub>2</sub>



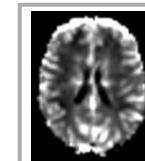
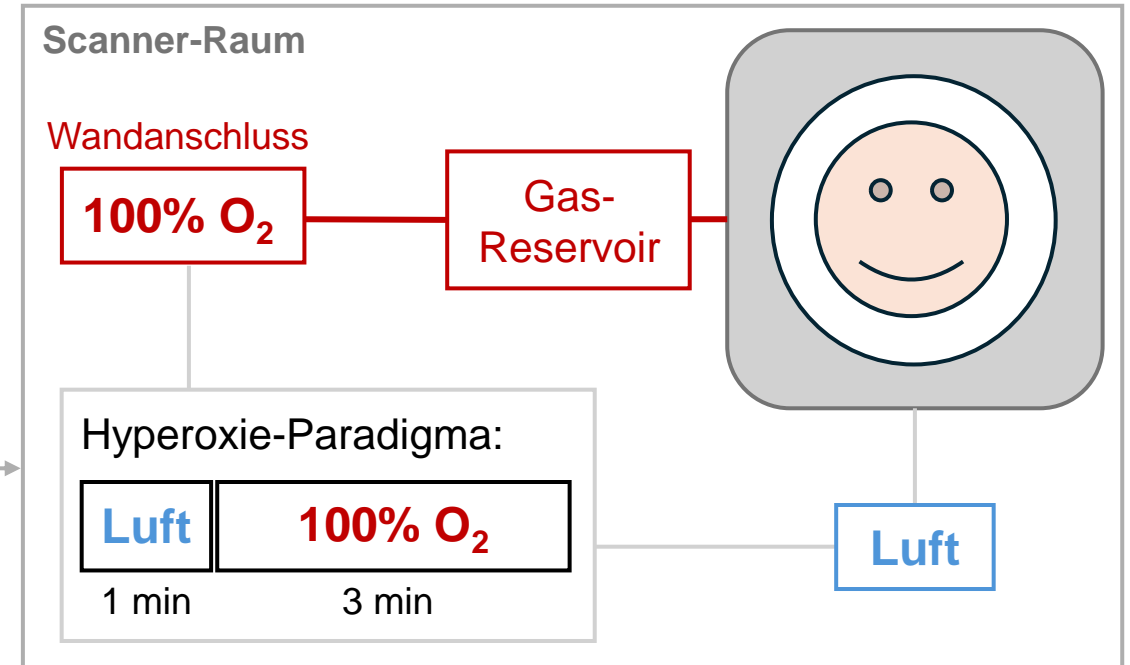
# Methodik

 16 gesunde Proband:innen (46.9 ± 25.3 y)

 Philips Ingenia Elition X 3T MRT-Scanner  
32-Kanal-Kopfspule

## T2\*-gewichtete funktionelle MRT

BOLD-Kontrast (blood oxygenation level dependent),  
3x3x3 mm<sup>3</sup>, 04:04.7 min, Luft + O<sub>2</sub>



$$CBV = h \frac{\text{Signal}_{\text{O}_2} - \text{Signal}_{\text{Luft}}}{\text{norm}}$$

Bulte, *JMRI*, 2007

# Methodik

 16 gesunde Proband:innen (46.9 ± 25.3 y)

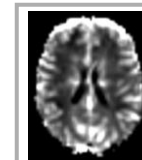
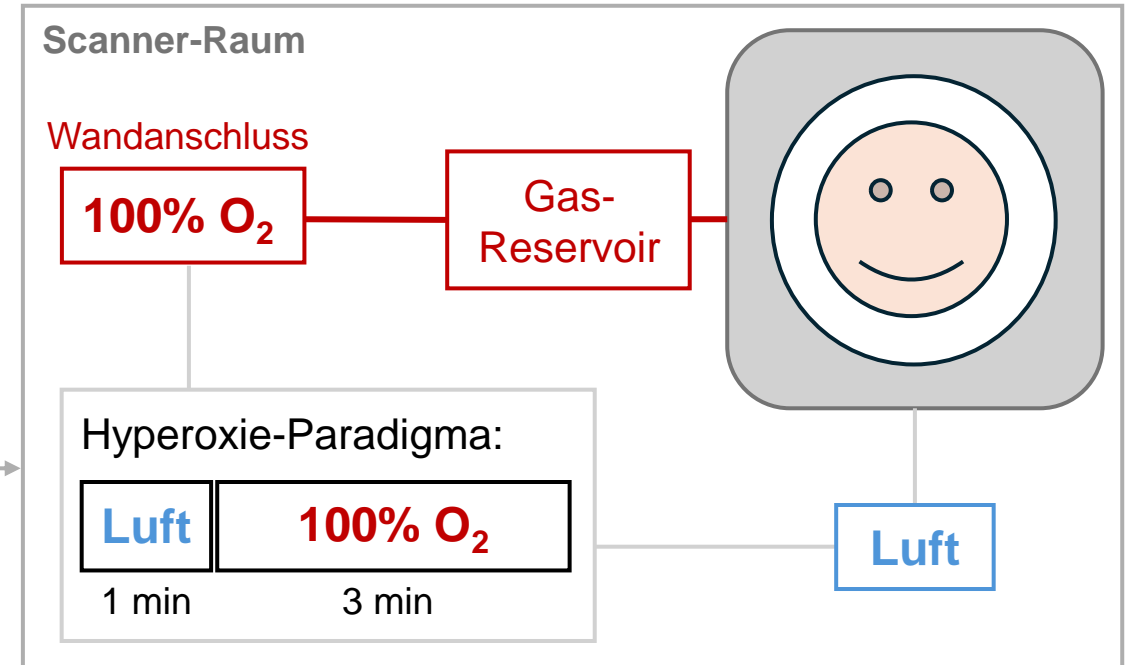
 Philips Ingenia Elition X 3T MRT-Scanner  
32-Kanal-Kopfspule

## T2\*-gewichtete funktionelle MRT

BOLD-Kontrast (blood oxygenation level dependent),  
3x3x3 mm<sup>3</sup>, 04:04.7 min, Luft + O<sub>2</sub>

## T1-gewichtete strukturelle MRT

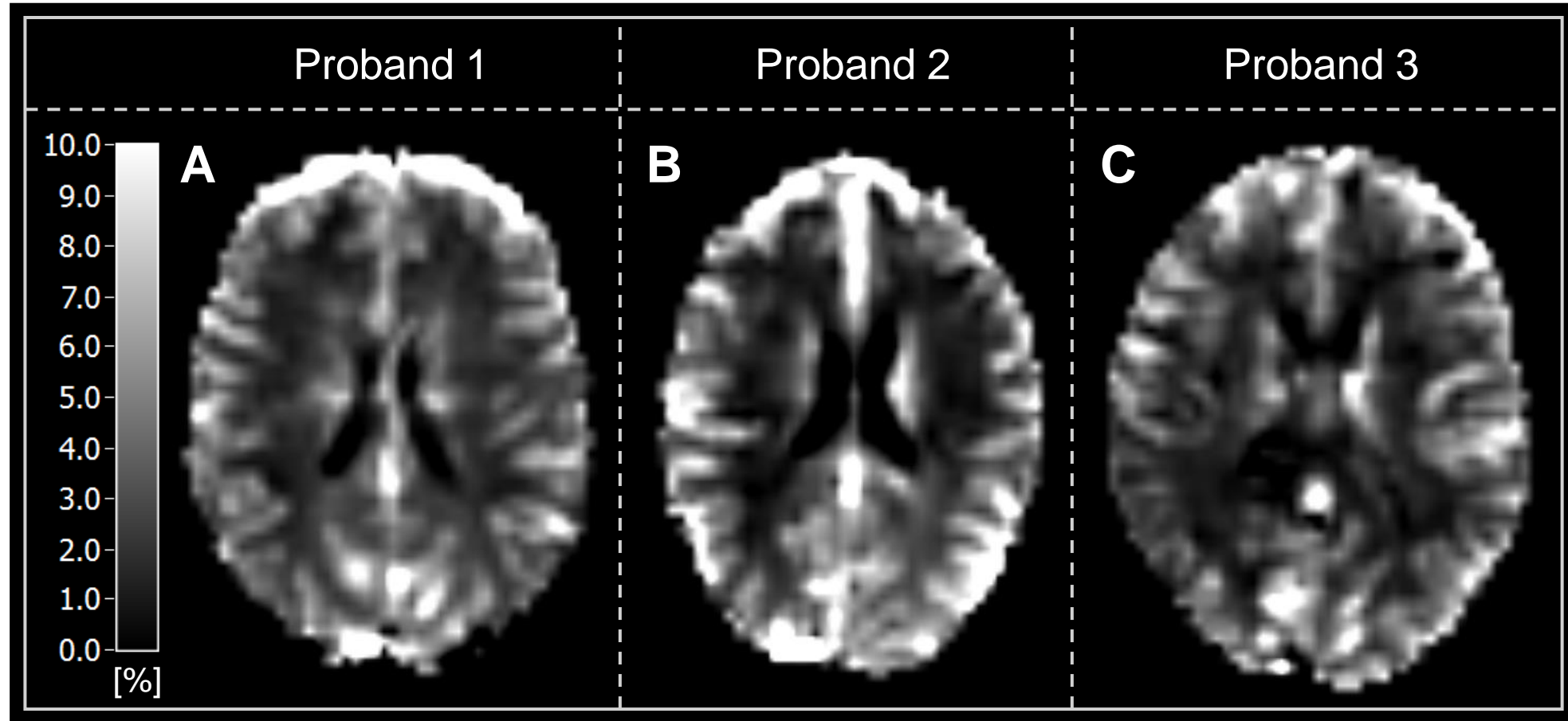
1x1x1 mm<sup>3</sup>, 02:25.7 min, Luft



$$CBV = h \frac{\text{Signal}_{\text{O}_2} - \text{Signal}_{\text{Luft}}}{\text{norm}}$$

Bulte, *JMRI*, 2007

# Ergebnisse – Beispiele Parameter-Karten



# Ergebnisse – Quantitative Analyse

Studie	n	Methode	CBV [%]			Verhältnis graue/weiße Substanz
			gesamt	graue Substanz	weiße Substanz	
unsere Daten	16	hyperoxische BOLD-fMRT	3.9 ± 1.1	4.6 ± 1.3	2.9 ± 0.9	1.7
Literaturreferenzen zum Vergleich						
Bulte et al., 2007 <i>JMRI</i> , 26(4):894-899	6	hyperoxische BOLD-fMRT	3.9 ± 1.1	4.1 ± 0.9	2.6 ± 0.8	1.6
Yamaguchi et al., 1986 <i>Stroke</i> , 17(6):1220-1228	14	<sup>15</sup> O-PET	-	4.3 ± 0.5	2.2 ± 0.6	2.0
Koshimoto et al., 1999 <i>JMRI</i> , 9(3):462-467	19	T2*-gewichtete Perfusions- MRT (mit Kontrastmittel)	-	4.1 ± 0.8	2.9 ± 0.4	1.4
Rempp et al., 1994 <i>Radiology</i> , 193(3):637-641	12		-	6.2 ± 1.6	3.9 ± 1.0	1.6

# Ergebnisse – Quantitative Analyse

Studie	n	Methode	CBV [%]			Verhältnis graue/weiße Substanz
			gesamt	graue Substanz	weiße Substanz	
unsere Daten	16	hyperoxische BOLD-fMRT	3.9 ± 1.1	4.6 ± 1.3	2.9 ± 0.9	1.7
Literaturreferenzen zum Vergleich						
Bulte et al., 2007 <i>JMRI</i> , 26(4):894-899	6	hyperoxische BOLD-fMRT	3.9 ± 1.1	4.1 ± 0.9	2.6 ± 0.8	1.6
Yamaguchi et al., 1986 <i>Stroke</i> , 17(6):1220-1228	14	<sup>15</sup> O-PET	-	4.3 ± 0.5	2.2 ± 0.6	2.0
Koshimoto et al., 1999 <i>JMRI</i> , 9(3):462-467	19	T2*-gewichtete Perfusions- MRT (mit Kontrastmittel)	-	4.1 ± 0.8	2.9 ± 0.4	1.4
Rempp et al., 1994 <i>Radiology</i> , 193(3):637-641	12		-	6.2 ± 1.6	3.9 ± 1.0	1.6

## Fazit und Ausblick

- ✓ einfache O<sub>2</sub>-Applikation durch Wandanschluss
- ✓ vollständig nichtinvasive CBV-Messung in ~ 4 min

## Fazit und Ausblick

- ✓ einfache O<sub>2</sub>-Applikation durch Wandanschluss
- ✓ vollständig nichtinvasive CBV-Messung in ~ 4 min

Validierung der Methode ...

... im direkten Vergleich zur kontrastmittelbasierten Perfusions-MRT

... in Patient:innen mit CBV-verändernden Pathologien

**Vielen Dank für Ihre  
Aufmerksamkeit!**



[elisa.saks@tum.de](mailto:elisa.saks@tum.de)



[elisa-saks](https://www.linkedin.com/in/elisa-saks)



Neuro Magnetic Resonance Munich (NMRM)